

Πρακτικά	4ου Συνέδριου	Μάϊος 1988	
Διετ. Ελλ. Γεωλ. Εταιρ.	Τομ. ΧΧΙΙΙ/1 Vol.	σελ. 89-100 pag.	Αθήνα 1989 Athens
Bull. Geol. Soc. Greece			

## Η ΡΗΞΙΓΕΝΗΣ ΤΕΚΤΟΝΙΚΗ ΤΗΣ ΒΟΡΕΙΟΑΝΑΤΟΛΙΚΗΣ ΧΑΛΚΙΔΙΚΗΣ - ΜΙΑ ΣΥΓΚΡΙΤΙΚΗ ΜΕΛΕΤΗ ΦΩΤΟΓΕΩΛΟΓΙΚΩΝ ΚΑΙ ΑΕΡΟΓΕΩΦΥΣΙΚΩΝ ΣΤΟΙΧΕΙΩΝ

Π. ΚΑΡΜΗ\*, Π. ΤΣΟΜΠΟΥ\*\*

### ΣΥΝΟΨΗ

Τεκτονικές δομές που προέρχονται από την ερμηνεία αεροφωτογραφιών κλίμακας 1:40.000 της Βορειοανατολικής Χαλκιδικής, συγχρένονται με τεκτονικά στοιχεία που προέρχονται από την ερμηνεία αερογεωφυσικών δεδομένων. Αποδεικνύεται ότι τα αποτελέσματα αυτών των δύο διαφορετικών μεθόδων προσδιορίζονται στη γρήγορη και ακριβή ακοτύπωση της ρηξιγενούς τεκτονικής της, η οποία αντιτροσωπεύει τεκτονικές ασυνέχειες με συγκεκριμένο βάθος και μήκος. Οι κύριες διευθύνσεις της ρηξιγενούς τεκτονικής της ΒΑ Χαλκιδικής είναι : I: BA/NA, ή 140°- 160° II: B/N ή 0°- 10°, III:BA/ND ή 40°- 50°, IV: A/D ή 80°- 90°

### ABSTRACT

Tectonic structures are determined from the interpretation of aerial photographs in 1:40.000 scale of North-Eastern Chalkidiki, are compared to the tectonic elements derived from the interpretation of airborne Geophysical data. The results of the two different methods of defining tectonic structures have similar characteristics and their combination is regarded as an efficient and fast mapping tool of the Tectonic structure with a definite depth and strike extent, of an area. The main directions of the tectonic structures in the NE-Chalkidiki are: I:NW/SE or 140°- 160°, II:NE/SW, or 0°-10°, III:N/S or 40°-50°, IV:E/W or 80°- 90°.

### 1. ΕΙΣΑΓΟΓΗ-ΓΕΝΙΚΑ

Η ουγκριση τεκτονικών πληροφοριών που εντοπίζονται με κριτήρια τα επιφανειακά χαρακτηριστικά της γῆς (φωτογεωλογική ερμηνεία), με πληροφορίες τεκτονικής που προέρχονται από την ερμηνεία γεωφυσικών ανωμαλιών, οι οποίες είναι συνδυασμός επιφανειακών αλλά και βαθύτερων πληροφοριών, αποτελεί μία μέθοδο εργασίας με την οποία μπορείται η γεωλογική-τεκτονική ερμηνεία μίας περιοχής και επιβεβαιώνεται η θέση και το μέγεθος των τεκτονικών ασυνέχειών. Αυτό έχει άμεσες εφαρμογές στη μεταλλευτική έρευνα, γεωλογική χερτογράφηση, υδρογεωλογία ή τεχνική γεωλογία.

Η περιοχή εργασιών περιορίζεται σ'ένα σχετικά μικρό τμήμα της Β-Ανατολι-

P. KARMIS and P. TSOMBOS. Fracture pattern of north-east Chalkidiki. A comparative study of photogeological and airborne geophysical data. Ψηφιακή Βιβλιοθήκη "Θεόφραστος" - Τμήμα Γεωλογίας. Α.Π.Θ.

\* P. Karmis I.G.M.E. - Geophysist

\*\*Dr. P. Tsombos I.G.M.E. - Structure Geologist and Remote Sensing

κής Χαλκιδικής απόπου υπάρχουν αερογεωφυσικές πληροφορίες (Σχ.1).

Η έκταση της περιοχής αυτής είναι 450 km<sup>2</sup> και εντοπίζεται σε τμήματα γεωλογικών χαρτών Σταυρός-Στρατονίκη-Αρναία-Ιερισός κλίμακας 1 : 50,000 έκδοσης ΙΓΜΕ. Γεωλογικά η περιοχή αυτή αποτελείται κυρίως από κρυσταλλικά πετρώματα. Ο KOCKEL (1977) εντοπίζει δύο σειρές σχηματισμών. Την κατώτερη σειρά των Κερδυλλίων, η οποία έχει πάχος 2.000μ. περίπου και αποτελείται κυρίως από βιοτιτικούς και μοσχοβιτικούς γγευσίους, αμφιβολίτες και μάρμαρα. Σε συμφωνία με τη σειρά αυτή υπέρκειται η σειρά του Βερτίσκου η οποία αποτελείται κυρίως από μοσχοβοτικούς γγευσίους και εναλλαγές αμφιβολιτών και βιοτιτικών γγευσίων. Χαρακτηριστικές για τη σειρά του Βερτίσκου είναι οι διεισδύσεις των οφιολίθων πετρωμάτων.

## 2. Η ΜΕΟΩΔΟΛΟΓΙΑ ΤΗΣ ΦΩΤΟΓΕΩΛΟΓΙΚΗΣ ΕΡΜΗΝΕΙΑΣ

Η πυκνή βλάστηση, ο παχύς εδαφικός μανδύας, το φτωχό οδικό δίκτυο και το έντονο γεωμορφολογικό ανάλυφο, δεν επιτρέπουν με τους συνήθεις τρόπους χαρτογράφησης την γρήγορη και σωστή αποτύπωση της ρηξιγενούς τεκτονικής. Έτσι για την ποσοτική και ποιοτική αποτύπωση της ρηξιγενούς τεκτονικής της ΒΑ Χαλκιδικής, πραγματοποιήθηκαν φωτογεωλογικές αναλύσεις των γραμμικών δομών σε αεροφωτογραφίες κλίμακας 1 : 40.000.

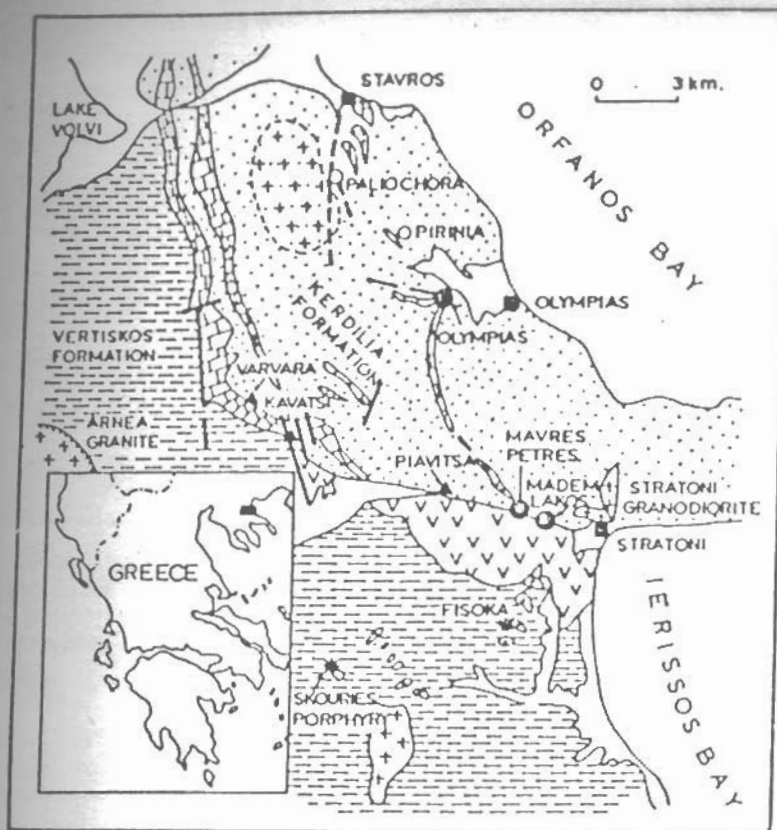
Οι γραμμώσεις ή συνώνυμα Φωτογραμμώσεις είναι ευθύγραμμα ή ελαφρά κυριεύοντα τμήματα ανωμαλιών που διακρίνονται στις αεροφωτογραφίες και προέρχονται από Blanchet (1957) από "fractures" ή γενικά τεκτονικές ασυνέχειες. Ο Lathman (1958) ομιλεί για "photogeologic fracture traces", οι οποίες διαχωρίζονται από πολλές ομάδες από τον Henderson (1960).

O Brown (1961) χρησιμοποιεί την έκφραση "airphoto linears" για όλα τα γραμμικά στοιχεία και o Kronberg (1967), τον θεωρεί σαν περιγραφικό τίτλο όλων των τεκτονικών ασυνέχειών. "Photo impressions of joints and fractures with linear or no displacement". O Gronmeier (1976) απέδειξε ακόμα ότι και διακλάσεις μήκους = 10 εκ. είναι δυνατόν να συμπίπτουν με διευθύνσεις φωτογραμμώσεων.

Από αυτά μπορούμε να συμπεράνουμε ότι η πληροφόρηση που μπορεί κανείς να πάρει από την ερμηνεία των αεροφωτογραφιών είναι πολύπλευρη και ποικιλόμορφη. Έτσι για τη σύγκριση και αξιολόγηση των αποτελεσμάτων της χαρτογράφησης των γραμμικών στοιχείων σε αεροφωτογραφίες, κατασκευάστηκε ο Χάρτης των τεκτονικών ασυνέχειών της ΒΑ Χαλκιδικής (Σχήμα 2). Εδώ αποδίδονται οι Φωτογραμμώσεις της περιοχής αυτής που προέρχονται από αεροφωτογραφίες κλίμακας 1 : 40.000. Η χαρτογράφηση τους, έγινε με τη βοήθεια των μεγενθυντικών φακών X3 ενός καθρεπτικού στερεοσκοπίου WILD και η μεταφορά τους στα τοπογραφικά υπόβαθρα κλίμακας 1 : 50.000 με τον μεταφορέα "transferskop" της ZEISS-JENA.

Παρατηρώντας τον Χάρτη του Σχ. 2, βλέπουμε ότι ενώ υπάρχουν φωτογραφίες σε διεύθυνσεις, πολλές απ' αυτές ακολουθούν σταθερές διευθύνσεις σχηματίζοντας "ζώνες" ή "παράλληλα συστήματα". Επίσης ότι υπάρχουν περιοχές με μεγαλύτερη πυκνότητα φωτογραμμώσεων σε σχέση με άλλες όπου η πυκνότητά τους είναι μικρότερη. Οι περιοχές αυτές είναι λεκάνες, παράκτιες περιοχές ή γενικά περιοχές που καλύπτονται από νεογενετικές ή νεώτερους σχηματισμούς. Ο μέσος όρος της μήκους των φωτογραμμώσεων είναι 500μ. περίπου, υπάρχουν δε περιοχές, όπου το κοστό των φτάνει τα 1000 ή 2000 μέτρα.

Στατιστικά, το σύνολο των χαρτογραφηθέντων φωτογραμμώσεων στη ΒΑ Χαλκιδική είναι 3117 ψηφιακή βιβλιοθήκη "Θεόφραστος": Τμήμα Επιλογής Α/Π: Θιλρό. Αναλυτικότερα δε στοιχεία δίνει ο παρακάτω πίνακας :



#### KERDILIA FORMATION

- [Dotted Pattern] BIOTITE GNEISS
- [Dotted Pattern] BIOTITE-HORNBLENDE GNEISS, AMPHIBOLITE
- [Crosses] ANATECTIC PHENOMENA
- [Bricks] UPPER AND LOWER MARBLE HORIZONS

#### VERTISKOS FORMATION

- [Dashed Pattern] 2-MICA GHEISS, BIOTITE GNEISS, AUGEN GNEISS.
- [Dashed Pattern] AMPHIBOLITE SHISTOSE
- [V Pattern] GRANITIC SILLS, PEGMATOIDS

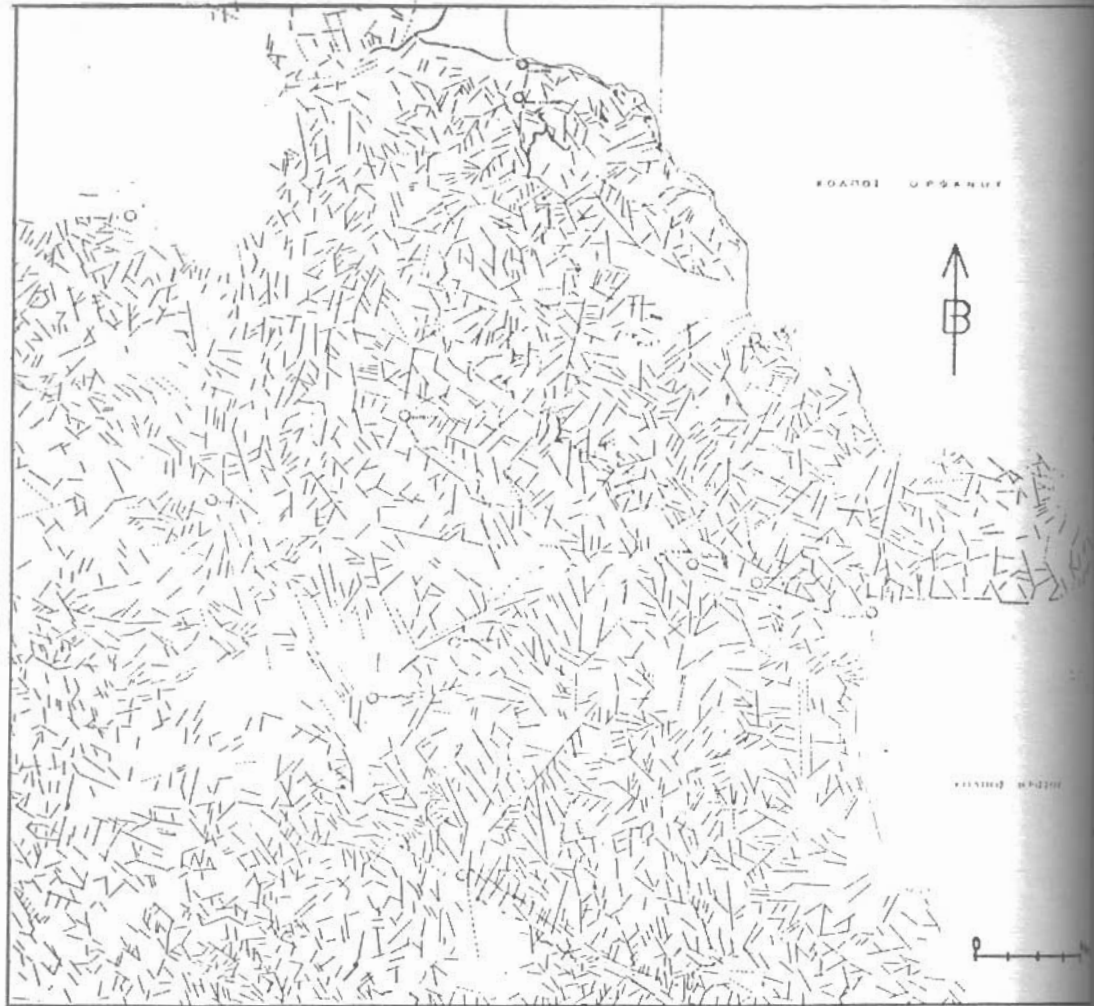
[Crosses] GRANITOIDS

[Downward V's] METAGABBRO  
AMPHIBOLITE

- Pb-Zn (Au,Ag) MINES
  - Pb-Zn(CW)
  - ▲ Mn
- MINERALIZATIONS

Ψηφιακή Βιβλιοθήκη "Θέόφραστος" - Τμήμα Γεωλογίας, Α.Π.Θ.

Σχ.1.: Ακλοκολημένος γεωλογικός χάρτης της ΒΑ Χαλκιδικής (Kockel et al. 1977, Τροποκολημένος από Σ.Η.Καλογερόπουλο et al. 1987).  
Fig.1.: Simplified geological map of N.E. Chalkidiki.



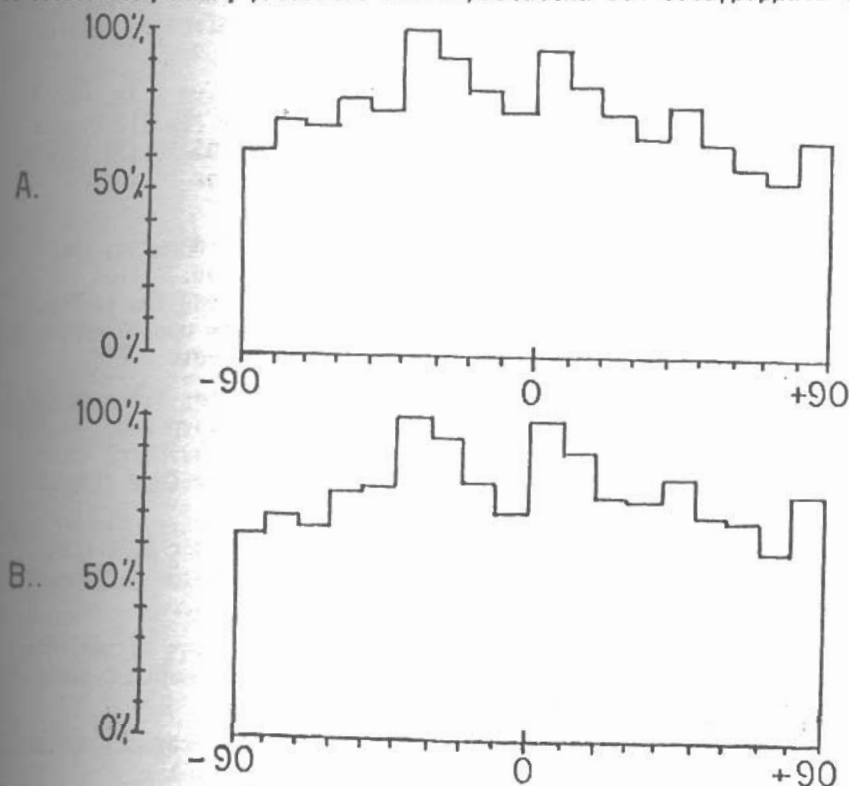
Σχ. 2.: Φωτογεωλογικός Χάρτης τεκτονικών ασυνεχειών ΒΑ Χαλκιδικής.

Fig.2.: Photogeological map of the fractures patterns of NE Chalkidiki.

Μοίρας	Μήκος Φωτ/σεων σε mm	Συχνότητα Φωτ/σεων	Μήκος Φωτ/σεων σε
1	2	3	4
0°- 10°	2089	223	10.445
10°-20°	1644	169	9.110
20°-30°			8.220

1	2	3	4
30°-40°	1463	167	7.315
40°-50°	1724	182	8.620
50°-60°	1411	156	7.255
60°-70°	1279	153	6.395
70°-80°	1188	130	5.940
80°-90°	1517	172	7.585
90°-100°	1367	141	6.835
100°-110°	1586	154	7.930
110°-120°	1546	148	7.730
120°-130°	1750	171	8.750
130°-140°	1646	175	8.230
140°-150°	2232	226	11.160
150°-160°	2031	211	10.155
160°-170°	1795	178	8.975
170°-180°	1645	159	8.225
	$\Sigma = 3.117$		$\Sigma = 148.875$

Η κύρια διεύθυνση συχνότητας και μήκους των φωτογραμμώσεων της ΒΑ Χαλκιδικής είναι η ΒΔ/ΝΑ ή  $140^{\circ}$ - $160^{\circ}$ . Η δεύτερη κύρια διεύθυνσή τους είναι η Β/Ν ή  $0^{\circ}$ - $10^{\circ}$ , ενώ επίσης κορυφαία σχηματίζονται στις ΒΔ/ΝΔ ή  $40^{\circ}$ - $50^{\circ}$  και Α/Δ ή  $80^{\circ}$ - $90^{\circ}$ . Ως διευθύνσεις αυτές φαίνονται και παραστατικά στα λιστογράμματα του Σχ. 3.



Σχ.3.: λιστογράμματα ψηφιακής βιβλιοθήκης θεόρρασής - σημήνια Γεωλογίας ΑιΓΑΙΟΥ/φωτ/σεων της ΒΑ Χαλκιδικής.

Fig.3.: length weighted (A) and Density-weighted(B) histograms of NE Chalkidiki.

### 3. ΜΕΟΩΔΟΛΟΓΙΑ ΛΕΡΟΓΕΩΦΥΣΙΚΗΣ ΕΡΕΥΝΑΣ

Τα υπάρχοντα Αερογεωφυσικά στοιχεία είναι αποτέλεσμα έρευνας που εκτελέσθηκε το 1979 από το Ινστιτούτο της Δ. Γερμανίας BGR σε επιλεγμένες περιοχές μεταξύ των οποίων και αυτή της ΒΑ Χαλκιδικής. Σκοπός ήταν να εκτιμηθεί η αποτελεσματικότητα μίας ολοκληρωμένης Αερογεωφυσικής έρευνας στον Ελληνικό Ήπειρο. Τα μετρούμενα στοιχεία ήσαν : Ηλεκτρομαγνητική, Μαγνητική και Ραδιομετρική απόκριση και χρησιμοποιήθηκε το σύστημα DIGHEM II από ελικόπτερο (Fracer 1979). Όπως είναι γνωστό κατά την Ηλεκτρομαγνητική μέθοδο γίνεται εκπομπή Ηλεκτρομαγνητικού πεδίου τα οποία στην περίπτωση ύπαρξης αγωγιών σχηματισμών δημιουργεί δευτερεύον πεδίο που αντιχειρίζεται. Οι μετρήσεις γίνονται ανά 0.5 sec με μέσο αριθμό 70 περίπου μετρήσεων ανά χιλιόμετρο για την περίπτωση των Ηλεκτρομαγνητικών και η διακριτική ικανότητα του συστήματος είναι 60 μέτρα (Fracer 1978). Το βάθος διασκόπησης της μεθόδου εξαρτάται από την αγωγιμότητα του εδάφους και θεωρητικά φθάνει τα 100 μέτρα για το σύστημα που αναφέρεται.

Τα μετρούμενα στοιχεία της Ηλεκτρομαγνητικής απόκρισης μετασχηματίζονται σε στοιχεία Φαινόμενης Ειδικής αντίστασης κάνοντας χρήση υποθετικού και απλουστευμένου γεωλογικού μοντέλου το οποίο προσομοιάζει στο γεωλογικό περιβάλλον της ερευνητικής περιοχής.

Το μοντέλλο αυτό είναι του ομογενούς ημιχώρου (Uniform Half-space) και συνίσταται από στρώμα πεπερασμένου βάθους και ειδικής αντίστασης το οποίο επικάθεται υποβάθρου άπειρης ειδικής αντίστασης. Με δεδομένα τα στοιχεία της Ηλεκτρομαγνητικής απόκρισης, τα αποτελέσματα της επεξεργασίας είναι η ειδική αντίσταση και το βάθος του γεωλογικού σχηματισμού, τα οποία δίνονται στην μορφή χωρών ισοδυναμικών καμπυλών (Sengpiel, 1983). Στην ίδια μορφή δίνονται τα στοιχεία των μαγνητικών και των ραδιομετρικών μετρήσεων (Σχ. 4).

Από τα στοιχεία της ειδικής αντίστασης είναι δυνατόν να διακριθούν αναμολίες των οποίων η μορφή είναι δηλωτική τεκτονικών ασυνεχειών (Σχ.5). Οι αναμολίες αυτές έχουν τιμή ειδικής αντίστασης χαμηλώτερη του περιβάλλοντος λόγω της αυξημένης περιεκτικότητας αργιλλικών ορυκτών που παρατηρείται σε τεκτονικές ασυνεχειες (Palacky 1986).

Τα αργιλλικά ορυκτά, προέδντα υδροθερμικής δράσης ή διάβρωσης, εμφανίζονται κατά μήκος της ζώνης διάρρηξης την οποία και συμπληρώνουν. Η τιμή της ειδικής αντίστασης των τεκτονικών ασυνεχειών εξαρτάται από τον τύπο του γεωλογικού σχηματισμού δημοποιηθείται από τον 2-20 Ω.π σε μαφικά ηφαίστεια και πετρώματα και 20-200 Ω.π σε δέινα ηφαίστειακά, γρανίτη, γνεύσιο κ.λ.π.

Επί πλέον από τα στοιχεία της ειδικής αντίστασης γίνεται διάκριση των λιθολογικών τύπων συνεισφέροντας ουσιαστικά στην γεωλογική χαρτογράφηση. Με τον τρόπο αυτό η παραπάνω μεθοδολογία συμπληρώνει την αντίστοιχη μαγνητική και την υποκαθιστά σε περιπτώσεις δημοποιηθείται σε διαφορά (contrast) στην τιμή της μαγνητικής επιδεκτικότητας.

Τα δεδομένα της ραδιομετρικής απόκρισης συμβάλλουν επίσης στον καθορισμό της τεκτονικής στον βαθμό που οι ζώνες διάρρηξης επιτρέπουν την διεύδυση ραδιενέργων στοιχείων.

Τα αποτελέσματα της αερογεωφυσικής έρευνας δύον αφορά την τεκτονική της περιοχής βασιζόνται στα στοιχεία της ειδικής αντίστασης και της ραδιομετρικής απόκρισης (K, U) (Σχήμα 5).

Διακρίνονται τα ρήγματα Στάγειρα-Στρατών, Παλαιοχώρι-Μεσοχώρι, Νοτιονατολικά της Βαρβάρας, της Μεγάλης Παναγιάς, νότια του Σταυρού κ.λ.π.

Εντοπίζεται μεγάλος προβλήματος τεκτονικών νοστιμών σε περισσότερες από τις οποίες ακολουθούν δύο κύριες ολευσυνούσιες : BA-NA και BA-NA και δύο δευτερεύουσες : B-N και A-D.

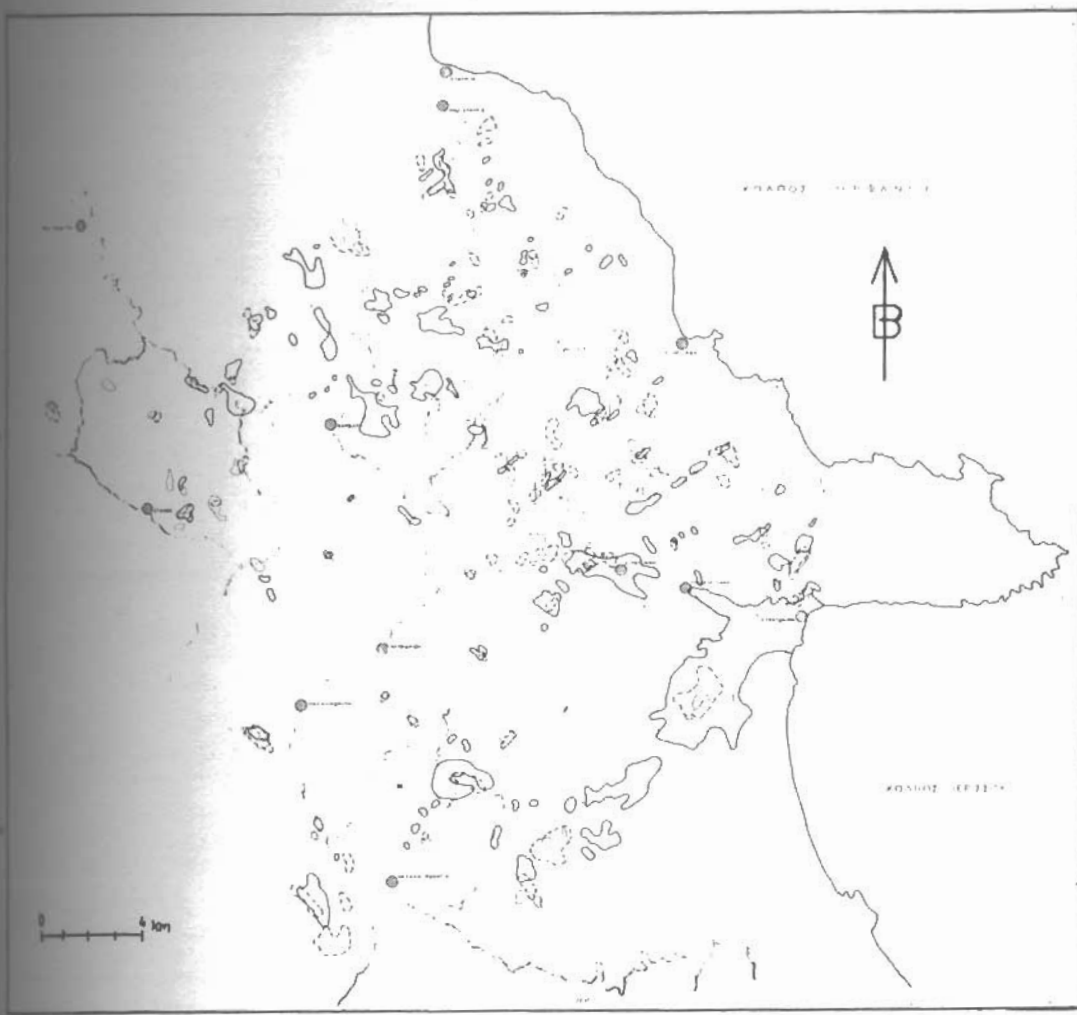
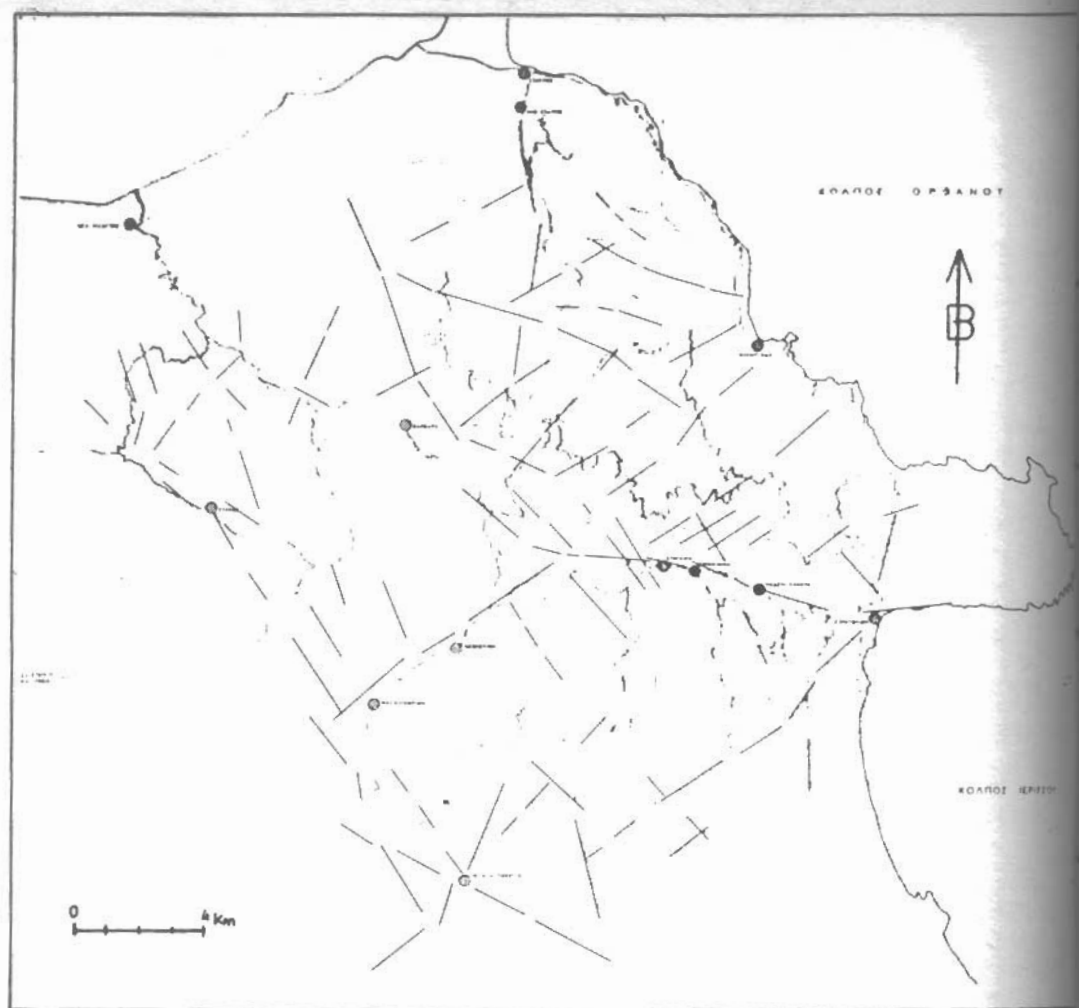


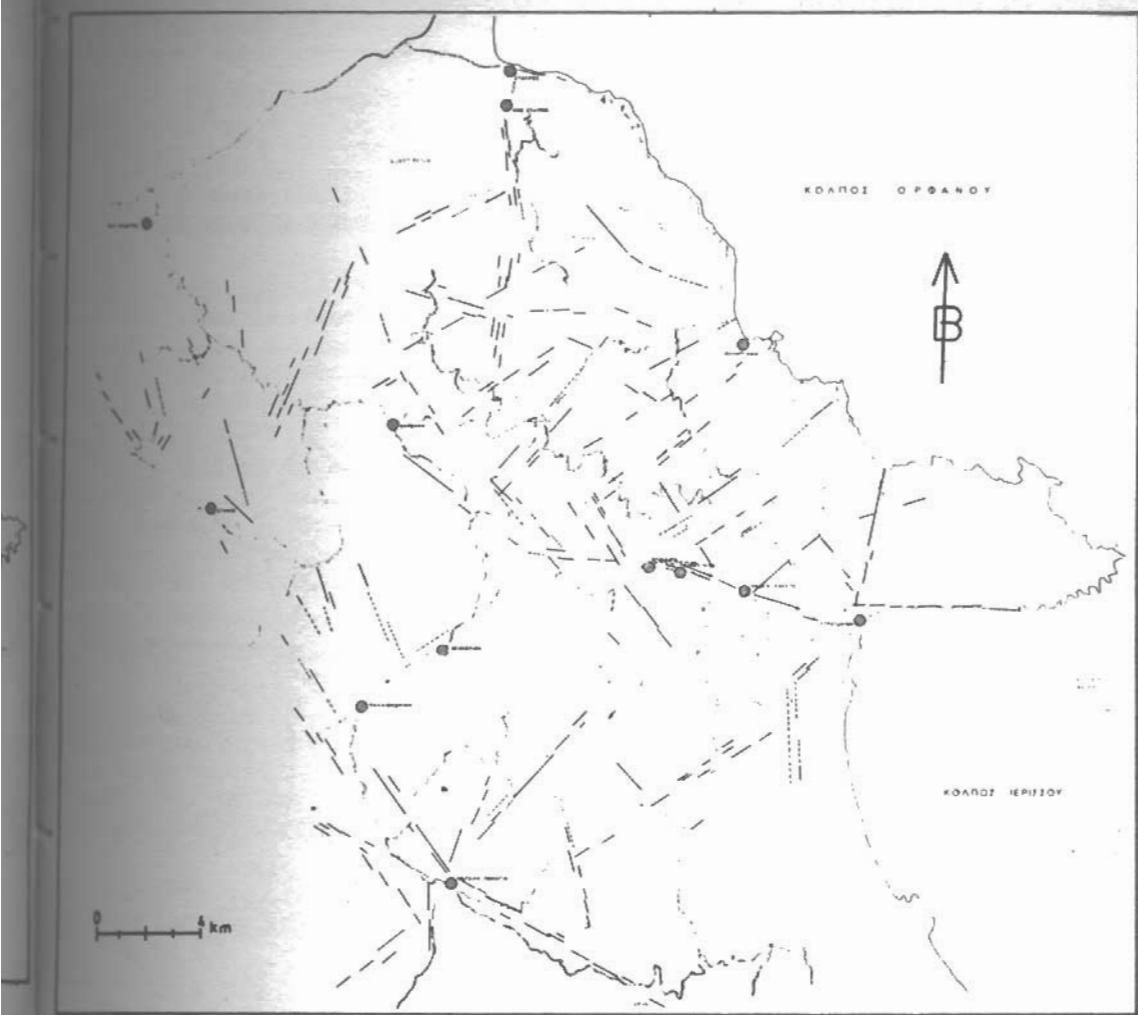
Fig. 4.: Χάρτης Αερογεωφυσικών ανωμαλιών. ————— Ειδική αντίσταση - - - - - Κάλιο  
..... Ουράνιο.

Fig. 4.: Map of Airborne geophysical anomalies. ————— Apparent Resistivity  
- - - - - Potassium ..... Uranium.



**Σχ. 5.: Χάρτης Τεκτονικών ασυνεχειών (από ερμηνεία Αερογεωφυσικών στοιχείων).**  
**Fig.5.: Tectonic Discontinuities map (derived from Airborne Geophysical Data).**

Γίνεται διάκριση των ενοτήτων Κερδυλλών-Βερτίσκου με τιμές ειδικής αντίστασης 80-800 Ωμ. για τα Κερδύλλια έναντι 300-3000 Ωμ του Βερτίσκου.



Σχ. 6.: Χάρτης Φωτογραμμώσεων στις θέσεις των Αερογεωφυσικών Τεκτονικών ασυνεχειών.

Fig.6.: Geophysical Tectonic discontinuities as displayed on the Fracture pattern map.

- Τέλος σαν αποτέλεσμα της σύγκρισης των φωτογεωλογικών και αερογεωφυσικών στοιχείων παρουσιάζεται ο Χάρτης του Σχ. 7, ο οποίος είναι ο συνθετικός Χάρτης των κυρίων τεκτονικών ασυνεχειών που προέρχονται από φωτογεωλογικά και αερογεωφυσικά στοιχεία.



Σχ. 7.: Συνθετικός χάρτης κυρίων τεκτονικών ασυνεχειών από φωτογεωλογικά και αερογεωφυσικά στοιχεία.

Fig.7.: Compilation map of main tectonic discontinuities derived from Photogeological and Airborne Geophysical Data.

## 4. ΔΙΕΚΡΙΣΗ ΦΩΤΟΓΕΩΛΟΓΙΚΩΝ-ΛΕΡΟΓΕΩΦΥΣΙΚΩΝ ΣΤΟΙΧΕΙΩΝ

Αποτέλεσμα της Φωτογεωλογικής ερμηνείας των αεροφωτογραφιών που χαρτογραφήθηκαν είναι ο χάρτης του Σχ. 2 όπου εμφανίζονται όλες οι τεκτονικές ασυνέχειες που εντοπίζονται στην επιφάνεια της περιοχής εργασιών.

Ο μεγάλος αριθμός των Φωτογραμμώσεων οφείλεται όπως προαναφέρθηκε στο πυκνό υδρογραφικό δίκτυο της περιοχής στο έντονο μορφολογικό ανάγλυφο καθώς και σε όλα στοιχεία όπως βλάστηση, γκριζότητα των πετρωμάτων κ.λ.π.

Ο συγκριτικά μικρότερος αριθμός τεκτονικών ασυνέχειών που παρατηρείται στον χάρτη του Σχ. 5 των αερογεωφυσικών στοιχείων οφείλεται στους παρακάτω παραγόντες :

- a) Η διακριτική ικανότητα της αερογεωφυσικής μεθοδολογίας που ακολουθήθηκε είναι 60 μέτρα έναντι μερικών εκατοστών της αντίστοιχης Φωτογεωλογικής.
- b) Η μέση απόσταση των γραμμών πτήσης είναι περίπου 200 μέτρα με συνέπεια μικρότερη πυκνότητα πληροφόρησης. Προδιθετα δε τεκτονικές ασυνέχειες μήκους μικροτέρου της απόστασης των γραμμών πτήσης δεν είναι δυνατόν να ανιχνευθούν.

Κατά την σύγκριση των αποτελεσμάτων της Φωτογεωλογικής και Λερογεωφυσικής ερμηνείας της περιοχής διαπιστώνεται ότι σε όλες σχεδόν τις περιπτώσεις υπάρχει ταύτιση της διεύθυνσης των τεκτονικών γραμμών που ανιχνεύονται και από τις δύο μεθόδους έργασιας (Σχ. 6). Όπως έχει προαναφερθεί οι κύριες διευθύνσεις είναι ΒΔ-ΝΑ, Β-Ν και δευτερεύουσες ΒΑ-ΝΔ και Α-Δ.

Διαπιστώνονται δύμας περιπτώσεις στις οποίες τεκτονικές γραμμές όπως ερμηνεύονται από τα αερογεωφυσικά στοιχεία δεν αποτυπώνονται φωτογεωλογικά.

Αυτό σχετίζεται συνήθως με 1. Εμφανίσεις δόμων σε αλλοιουβιλακές αποθέσεις ήπου ο επιφανειακός μανδύας και οι ανθρωπογενείς επεμβάσεις που σχετίζονται με αυτόν (Καλλιέργειες κ.λ.π.) καλύπτουν την πληροφόρηση που θα οδηγούσε στην απότυπωση των παραπάνω στοιχείων. 2. Περιπτώσεις όπου οι αερογεωφυσικές ανωμαλίες αποδίδονται σε επαφή λιθολογικών τύπων με διαφορά στις τιμές της ειδικής αντίστασης ή της ραδιομετρικής απόκρισης, η οποία δεν είναι τεκτονισμένη.

Παρατηρείται απόλυτη ταύτιση σε περιπτώσεις όπως το ρήγμα Στάγειρα-Στρατώνι ως προς την θέση και το μήκος των τεκτονικών γραμμών που αποτυπώθηκαν από τις παραπάνω μεθόδους. Το ίδιο παρατηρείται στο ρήγμα βόρεια του Στρατωνίου, διεύθυνσης ΒΒΑ.

Μια άλλη μορφή ταύτισης της διεύθυνσας των τεκτονικών ασυνέχειών παρηγέρεται σε περιοχές όπως αυτές νότια του Σταυρού όπου οι φωτογραμμώσεις ακολουθούν την ίδια διεύθυνση με τις αερογεωφυσικές ανωμαλίες αλλά εμφανίζονται πλευρικά μετατοπισμένες.

## 5. ΣΥΜΠΕΡΑΣΜΑΤΑ

Από την συγκριτική μελέτη των αποτελεσμάτων της Φωτογεωλογικής και Αερογεωφυσικής έρευνας της ΒΑ Χαλκιδικής προκύπτουν τα ακόλουθα συμπεράσματα :

1. Προσδιορίζονται οι κύριες διευθύνσεις των τεκτονικών ασυνέχειών της περιοχής οι οποίες είναι ΒΔ-ΝΑ και Β'-Ν με δευτερεύουσες διευθύνσεις τις ΒΑ-ΝΔ και Α-Δ και γίνεται χαρτογράφηση των ρηξιγενών ζωνών.
2. Ο παρουσιαζόμενος τρόπος προσέγγισης γεωλογικών προβλημάτων που έχουν σχέση με τον προσδιορισμό των τεκτονικών δόμων μίας περιοχής όπως της ΒΑ Χαλκιδικής φαίνεται να είναι ο αποτελεσματικότερος σε περιοχές μεγάλης έκτασης διότι δύσει με ταχύτητα ακρίβεια και μικρό κόστος γεωλογικές πληροφοριακές Βιβλιοθήκη "Θεόφραστος" Τμήμα Γεωλογίας Α.Π.Θ., τομείς έρευνας, όπως η Μεταλλευτική έρευνα, η Υδρογεωλογία και η Τεχνική Γεωλογία.

## ΒΙΒΛΙΟΓΡΑΦΙΑ-REFERENCES

- BLANCHET, P.H. (1957).: Development of fracture analysis as exploration method.- Bull.Amer. Ass. Petrol. Geologists, 41(8) 1749-1759, New York.
- BROWN, C.W. (1961).: Comparisons of joints, faults and airphoto linears.- Bull Amer. Ass. Petrol.-Geologists, 45 (1), 1888-1892 New York.
- FRACER, D.C. (1978).: Resistivity mapping with on airborne multicoil electromagnetic system. Geophysics v. 43, p. 144-172.
- FRACER D.C. (1979).: The multicoil II airborne EM system Geophysics v.44, p. 1367-1394.
- HENDERSON, G. (1960).: Air-photo lineaments in Mpanda Area, Western Province Tanganyka, Africa. Bull. Amer. Ass. Petrol.-Geologists, 44(1), 53-71, New York.
- ΚΑΛΟΓΕΡΟΠΟΥΛΟΣ Σ.Η., ΜΠΙΤΖΙΟΣ Δ., ΗΙΑΙΟΗΟΥΛΟΣ Δ., & ΒΕΡΑΝΗΣ Ν.(1987).: Γεωλογική ορυκτολογική και Γεωχημική Μελέτη της Θειούχου Μεταλλοφορίας Pb-Zn (Au,Ag) τύπου Ολυμπιαδάς, Ανατολικής Χαλκιδικής, Β. Ελλάδα. Συμβολή στη Μεταλλογένεση. 'Εκθεση Ι.Γ.Μ.Ε., Ιούνιος 1987.
- KOCKEL F., MOLLAT H., and WALTHER H. (1977).: Erlangerungen zur geologischen Karte der Chalkidiki und angrenzender gebiete 1 :100.000 (Nord-Griechenland) Hannover, 119 s.
- KRONBERG, P.(1967).: Photogeologie-Clausthaler Tektonische Hefte, 6, 235, S. 130 Abb., Clausthal-Zellerfeld.
- LATTMANN, L.H. (1958).: Technique of mapping geologic fracture traces and lineaments on aerial photographs-Photogramm. Eng., 24, 568-576 Mayasha.
- PALACKY G.J. (1986).: Geological background to resistivity mapping, in Airborn Resistivity Mapping , Geological Survey of Canada p. 19-27.
- SENGPIEL K.P. (1983).: Resistivity/depth mapping with airborne E.M. survey data Geophysics v. 48, p.181-196.